

Esercizi 'C' Fisica 3

Daniele Poidomani

January 2022

1 C.1.15:

resistenza d'irraggiamento e sezione d'urto di un circuito RC investito da un'onda e.m.

Dato un circuito quadrato di lato L (con $L \ll \lambda$ lunghezza d'onda della radiazione incidente) composto da una resistenza R ed un condensatore di capacità C , area D e distanza tra le piastre d , vogliamo calcolare la "resistenza di irraggiamento", la sezione d'urto di assorbimento e la sezione d'urto elastica.

Prendiamo il circuito sul piano xz .

I campi della radiazione incidente sono:

$$\mathbf{B} = B_0 \cos(\omega t - kz) \quad (1)$$

$$\mathbf{E} = E_0 \cos(\omega t - kz) = c B_0 \cos(\omega t - kz) \quad (2)$$

Diretti rispettivamente lungo l'asse y e l'asse x .

1.1 Resistenza d'irraggiamento

Per calcolare la resistenza d'irraggiamento possiamo considerare la spira come un'antenna emettitrice, con una fem che sarà quella indotta dal flusso del campo magnetico attraverso di essa:

$$\epsilon_{ind}(t) = -\frac{d\Phi_{\mathbf{B}}}{dt} = -\frac{L \int_{-L/2}^{L/2} B_0 \cos(\omega t - kz) dz}{dt} = \omega L^2 B_0 \sin(\omega t) \frac{\sin(kL/2)}{kL/2} \quad (3)$$

E poichè abbiamo assunto $L \ll \lambda = 1/k$, si ha:

$$\epsilon_{ind}(t) = \omega L^2 B_0 \sin(\omega t) \quad (4)$$

Da cui si avrà una corrente indotta della forma:

$$i_{ind}(t) = i_0 \sin(\omega t + \phi) \quad (5)$$

Sappiamo che la potenza irradiata sarà una somma della potenza di dipolo elettrico e magnetico, in particolare:

$$P_{irr} = \frac{|\ddot{\mathbf{P}}_e|^2}{6\pi\epsilon_0 c^3} + \frac{|\ddot{\mathbf{P}}_m|^2}{6\pi\epsilon_0 c^5} \quad (6)$$

dove i due termini dovuti ai dipoli sono le derivate temporali di:

$$P_e(t) = dQ(t) = d \int i(t) dt \quad (7)$$

$$P_m(t) = L^2 i(t) \quad (8)$$

Rispettivamente per il dipolo elettrico e quello magnetico, dove con Q si è indicata la carica del condensatore al tempo t. Sostituendo nella (6) si arriva a:

$$P_{irr} = \frac{(i_0 d \omega \cos(\omega t + \phi))^2}{6\pi\epsilon_0 c^3} + \frac{(A \omega^2 i_0 \sin(\omega t + \phi))^2}{6\pi\epsilon_0 c^5} \quad (9)$$

Dove con A si è indicata l'area del circuito = L^2 . Poichè si ha un andamento dipendente dal tempo, per ricavare la resistenza di irraggiamento facciamo una media temporale, ovvero:

$$\langle P_{irr} \rangle = R_{irr} \langle i^2 \rangle \quad (10)$$

da cui si ricava immediatamente:

$$R_{irr} = \frac{d^2 \omega^2}{6\pi\epsilon_0 c^3} + \frac{A^2 \omega^4}{6\pi\epsilon_0 c^5} = Z_0 \left[\frac{2\pi}{3} \left(\frac{d}{\lambda} \right)^2 + \frac{8\pi^3}{3} \left(\frac{L}{\lambda} \right)^4 \right] \quad (11)$$

Che abbiamo riscritto in funzione della lunghezza d'onda della radiazione incidente ed introducendo l'impedenza del vuoto $Z_0 \simeq 377\Omega$. Il termine di dipolo magnetico può essere trascurato solo se si ha L dello stesso ordine di grandezza di d, infatti già nel caso in cui $\lambda = 10L = 100d$, si ha che i due termini sono dello stesso ordine di grandezza.

1.2 Sezioni d'urto

Vogliamo ora andare a calcolare le sezioni d'urto di assorbimento ed elastica del circuito, definite come (introducendo la media temporale del vettore di Poynting iniziale della radiazione incidente):

$$\sigma_{abs} = \frac{\langle P_{abs} \rangle}{\langle |\mathbf{S}_{in}| \rangle} = \frac{\langle i \rangle^2 R_{load}}{\frac{B_0^2}{2c^2 Z_0}} \quad (12)$$

$$\sigma_{el} = \frac{\langle P_{el} \rangle}{\langle |\mathbf{S}_{in}| \rangle} = \frac{\langle i \rangle^2 R_{irr}}{\frac{B_0^2}{2c^2 Z_0}} \quad (13)$$

Dobbiamo quindi andare a calcolare la corrente totale che scorre nel circuito:

$$i(t) = \frac{\epsilon(t)}{R_{load} - \frac{j}{\omega C} + R_{irr}} = \frac{\epsilon(R_{load} + \frac{j}{\omega C} + R_{irr})}{(R_{load} + R_{irr})^2 + (\frac{1}{\omega C})^2} \quad (14)$$

Mediando nel tempo si ottiene e sostituendo si ottiene:

$$\langle i \rangle^2 = \frac{\epsilon_0^2}{2((R_{load} + R_{irr})^2 + (\frac{1}{\omega C})^2)} = \frac{(\omega L^2 B_0)^2}{2(R + Z_0[\frac{2\pi}{3}(\frac{d}{\lambda})^2 + \frac{8\pi^3}{3}(\frac{L}{\lambda})^4])^2 + (\frac{1}{\omega C})^2} \quad (15)$$

Da cui si ricava:

$$\sigma_{abs} = \frac{c^2 Z_0 (\omega L^2)^2 R_{load}}{(R_{load} + R_{irr})^2 + (\frac{1}{\omega C})^2} \quad (16)$$

$$\sigma_{abs} = \frac{c^2 Z_0 (\omega L^2)^2 R_{irr}}{(R_{load} + R_{irr})^2 + (\frac{1}{\omega C})^2} \quad (17)$$

2 C.2.13 equilibrio secolare

2.1 teoria

Consideriamo un isotopo radioattivo a vita "breve", prodotto nel decadimento di un isotopo a vita "molto lunga" di cui sia nota la concentrazione al tempo $t=0$, per determinare la concentrazione del primo in funzione del tempo.

Indicheremo con $N_1(t)$ la concentrazione dell'isotopo "padre", che per semplicità assumiamo decadere sempre nell'isotopo "figlio", che avrà concentrazione $N_2(t)$.

Dette quindi Γ_1 e Γ_2 le larghezze di decadimento, che saranno l'inverso delle vite medie degli isotopi, sappiamo che la concentrazione del "padre" segue la legge:

$$N_1(t) = N_0 e^{-\Gamma_1 t} \quad (18)$$

(questo nel caso in cui Γ_1 non dipenda dal tempo).

Per l'isotopo "figlio" si avrà dunque:

$$\frac{dN_2}{dt} = \Gamma_1 N_1(t) - \Gamma_2 N_2(t) \quad (19)$$

Usando il fatto che $N_2(t)=0$ per tempi $t \leq 0$ e risolvendo l'equazione differenziale si ottiene:

$$N_2(t) = \frac{N_0 \Gamma_1}{\Gamma_2 - \Gamma_1} (e^{-\Gamma_1 t} - e^{-\Gamma_2 t}) \quad (20)$$

Che, per $\frac{1}{\Gamma_2} \ll t < \frac{1}{\Gamma_1}$, si riduce a:

$$N_2(t) = \frac{N_0 \Gamma_1}{\Gamma_2} e^{-\Gamma_1 t} = \frac{\Gamma_1}{\Gamma_2} N_1(t) \quad (21)$$

Notiamo che questa è anche la soluzione alla richiesta di equilibrio per la concentrazione dell'isotopo "figlio", ovvero:

$$\frac{dN_2}{dt} = 0 = \Gamma_1 N_1(t) - \Gamma_2 N_2(t) \quad (22)$$

Si parla in questo caso di "equilibrio secolare", in cui l'isotopo radioattivo prodotto non varia la propria concentrazione, almeno fino a quando quella dell'isotopo iniziale non comincia a variare molto velocemente.

2.2 esempio con Uranio 235

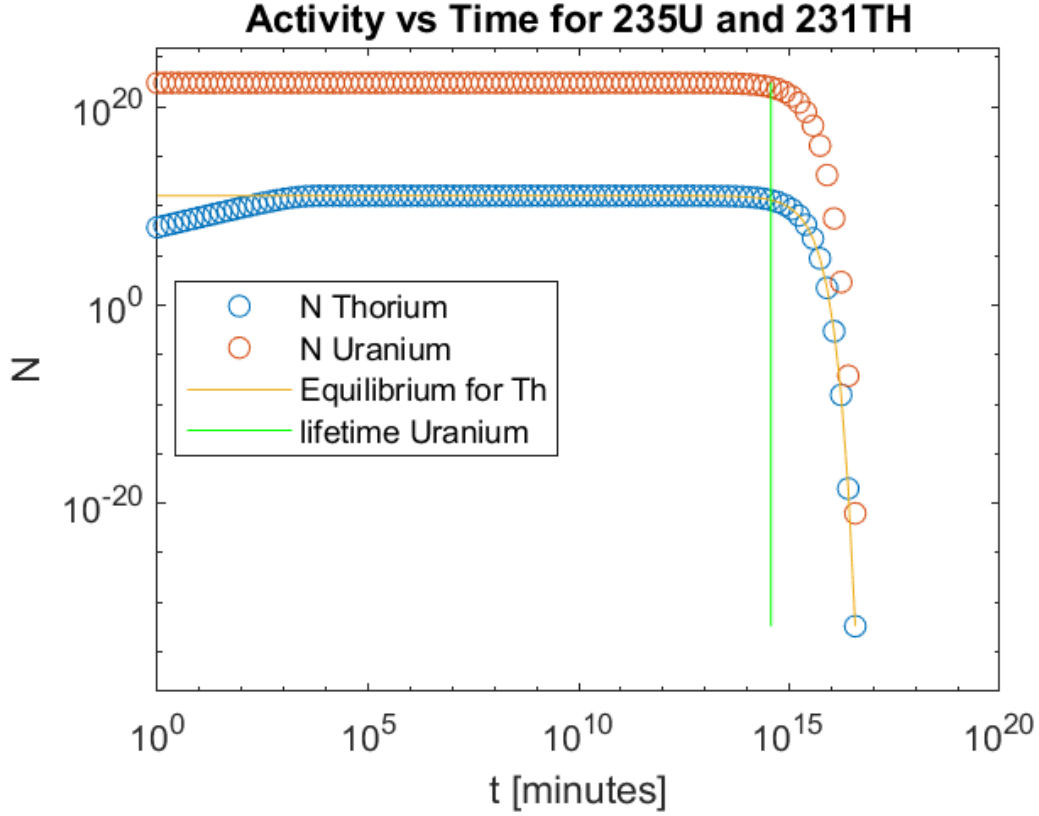
Per vedere visivamente l'equilibrio secolare prendiamo il decadimento dell'Uranio 235 nel Torio 231. Si ha:

$\tau_U = 7.04 \cdot 10^8 y = 7.04 \cdot 525600 \cdot 10^8 \text{ min}$, la vita media dell'Uranio 235;

$\tau_{Th} = 1531 \text{ min}$, la vita media del Torio 231.

Consideriamo quindi un campione di 10g di Uranio, che equivale a $N_0 = 2.56 \cdot 10^{22}$ atomi.

Usando MATLAB per graficare i modelli in un intervallo di tempo $t = [0, 100 \cdot \tau_U]$.



Si osserva come l'andamento rispetti l'ipotesi di equilibrio per $t \gg \tau_{Th}$ e come continui a soddisfarlo anche quando si supera il la vita media dell'uranio, nonostante la concentrazione cali sensibilmente.

3 C.3.15 sezione d'urto Compton

Ipotizziamo un semplice modello in cui lo scattering Compton su un elettrone atomico avviene solo se il fotone trasferisce all'elettrone una energia superiore all'energia di ionizzazione I . Dalla conservazione dell'energia e dell'impulso si ottiene:

$$\omega_0 + m_e = \omega_1 + m_e + I \quad (23)$$

$$\omega_0 = \omega_1 \cos \theta + (\sqrt{(m_e + I)^2 - m_e^2}) \cos \psi \quad (24)$$

$$0 = \omega_1 \sin \theta - (\sqrt{(m_e + I)^2 - m_e^2}) \sin \psi \quad (25)$$

Dalle ultime due si ricava quindi:

$$\omega_0^2 + \omega_1^2 - 2\omega_0\omega_1\cos\theta = I^2 + 2m_eI \quad (26)$$

E sostituendo ω_1 ricavato dalla prima:

$$\omega_0^2 - \omega_0I - \frac{m_eI}{1 - \cos\theta} = 0 \quad (27)$$

Risolvendo l'equazione di secondo grado e calcolandola al caso limite, ovvero quando $\cos\theta = -1$, si ha che la frequenza e quindi l'energia di soglia del fotone incidente è:

$$\omega_0 > \sqrt{\frac{m_eI}{2} + \frac{I^2}{4}} + I/2 \quad (28)$$

Prendiamo ora la formula di Klein-Nishina (29) e la sua approssimazione per basse frequenze (30) per la sezione d'urto Compton differenziale:

$$\frac{d\sigma}{d\Omega} = \frac{r_e^2}{2} \left(\frac{w_1}{w_0}\right)^2 \left(\frac{w_1}{w_0} + \frac{w_0}{w_1} - \sin^2\theta\right) \quad (29)$$

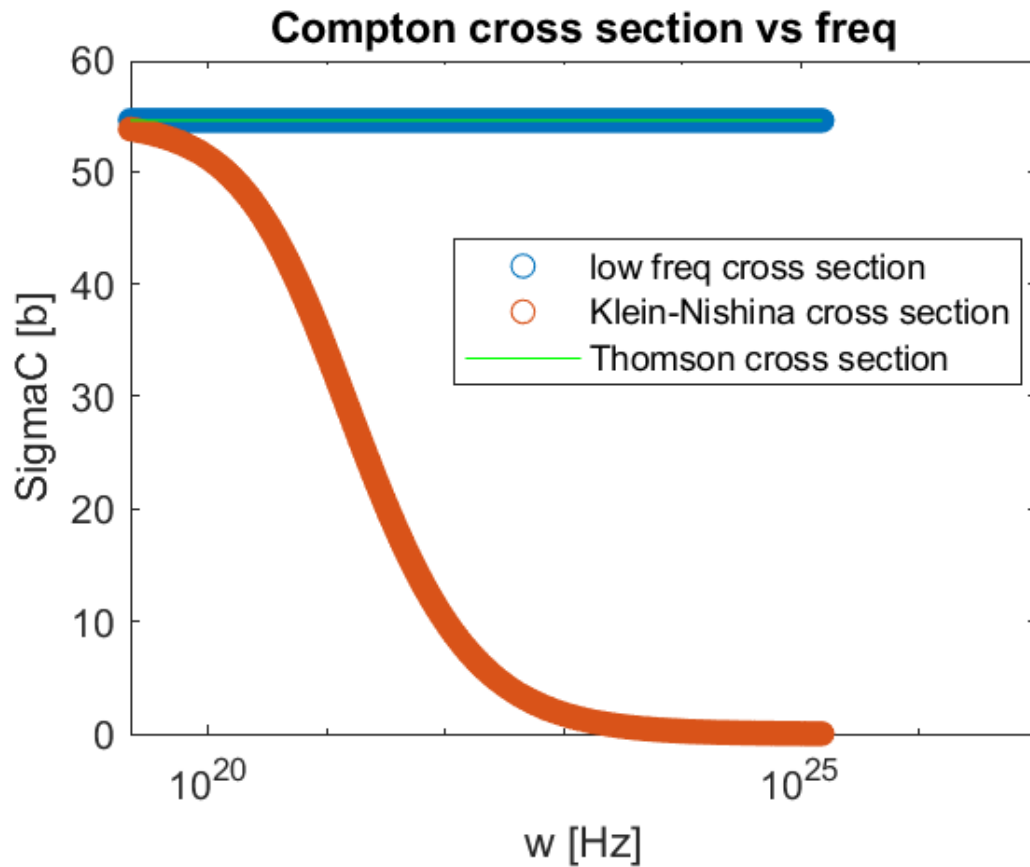
$$\frac{d\sigma}{d\Omega} \simeq \frac{r_e^2}{2} (1 + \cos^2\theta) \quad (30)$$

Possiamo integrare la seconda per ottenere la sezione d'urto Compton a basse frequenze, stando attenti però agli estremi di integrazione, infatti avremo $-1 < \cos\theta < 1 - p$, dove abbiamo usato $p = \frac{m_eI}{\omega_0(\omega_0 - I)}$ (nel caso di $p=2$ otteniamo di nuovo l'energia di soglia).

$$\sigma_C = \int_0^{2\pi} \int_{-1}^{1-p} \frac{r_e^2}{2} (1 + \cos^2\theta) d\phi d\cos\theta = \pi r_e^2 \left(\frac{8}{3} - 2p + p^2 - \frac{p^3}{3}\right) \quad (31)$$

Si nota che per $p \rightarrow 0$, ovvero per $\omega \gg \sqrt{m_eI}$ si ha che la sezione d'urto Compton tende a quella Thomson.

Per confrontare la formula di Klein-Nishina con l'approssimazione a basse frequenze, con MATLAB abbiamo integrato numericamente la prima e poi graficato entrambi gli andamenti in funzione della frequenza nel caso del Piombo:



La frequenza varia dall'energia di soglia fino a 10 GeV, dove sappiamo che la sezione d'urto Compton tende a zero, ovvero da circa 10^{18} a 10^{26} Hz.

Si vede che, almeno nel caso del piombo, la formula approssimata valga solo per frequenze prossime a quella di soglia e che assume praticamente sempre il valore della sezione d'urto Thomson.